



## ساخت سریع میکرو کانتیلیورهای تک ماده‌ای از جنس $\text{SiO}_2$ با هزینه کم بر پایه فناوری میکروماشین کاری حجمی

\*حسن عبدالله\*

استادیار، مهندسی برق، دانشگاه هوای شهید سلطانی، تهران  
h.abd@ssau.ac.ir \*تهران، صندوق پستی 1384673411

### چکیده

از آن جایی که کانتیلیورها پایه و اساس بیشتر قطعات مبتنی بر ساختارهای MEMS می‌باشند، در این مقاله فرآیند ساخت کانتیلیور با فناوری میکروماشین کاری حجمی بیان شده است و از آن فرآیند برای ساخت آرایه‌ای از میکروکانتیلیورهای تک ماده‌ای از جنس  $\text{SiO}_2$  استفاده شده است. نتایج حاصل از این مقاله می‌تواند پایه و اساس طراحی و ساخت حسگرهایی باشد که بر پایه کانتیلیور از جنس  $\text{SiO}_2$  استوار است. طراحی فرآیند ساخت کانتیلیورها در 13 مرحله با 2 ماسک شبشهای و طلقی انجام شده است و معلق سازی آن‌ها نیز به روش رهاسازی تر است. از مهم‌ترین مزایای روش ارائه شده می‌توان به عدم نیاز به تجهیزات پیشرفته لایه نشانی، طراحی با حداقل ماسک، سادگی در پیاده‌سازی سریع کانتیلیورها، اختیاب از پیچیدگی رهاسازی از لایه قربانی، رهاسازی کانتیلیور در دمای محیط، کم هزینه بودن و در نهایت امکان پیاده‌سازی آن در آزمایشگاه‌های میکروالکترونیک با تجهیزات محدود اشاره نمود. کانتیلیورهای تک‌ماده‌ای از جنس  $\text{SiO}_2$  با طول‌های 100، 50، 50 $\mu\text{m}$ ، 150، 200، 250، 300، 350 و 400، به ضخامت‌های 1 و 2 و به عرض‌های 20 و 40 $\mu\text{m}$  ساخته شدند. مقادیر فرکانس رزونانس و ثابت فنر آن‌ها نیز برای مواد مختلف  $\text{Si}_3\text{N}_4$ ،  $\text{Si}$ ،  $\text{Al}$ ،  $\text{Au}$ ،  $\text{SiO}_2$  و  $\text{SU}_8$  با بعد متفاوت محاسبه شده‌اند. نتایج حاصل از تصاویر روشنی نشان می‌دهند که عملیات لیتوگرافی با وجود ناهمواری در پشت زیر لایه به درستی صورت پذیرفته است، کنترل فرآیند ساخت و کنترل عملیات زدایش Si حد قابل قبول است و کانتیلیورها با استرس ناجیز به خوبی به حالت معلق درآمدند.

### اطلاعات مقاله

مقاله پژوهشی کامل

دریافت: 18 دی 1395

پذیرش: 20 بهمن 1395

ارائه در سایت: 09 اردیبهشت 1396

کلید واژگان:

میکروماشین کاری حجمی

میکروکانتیلیور

MEMS

## Fast and low lost fabrication of $\text{SiO}_2$ microcantilever based on Bulk microelectromechanical system

Hassan Abdollahi\*

Department of Electrical Engineering, Shahid Sattari Aeronautical University of Science and Technology, Tehran, Iran  
\* P.O.B. 1384673411, Tehran, Iran, h.abd@ssau.ac.ir

### ARTICLE INFORMATION

Original Research Paper

Received 07 January 2017

Accepted 08 February 2017

Available Online 29 April 2017

Keywords:

Bulk micromachining

Micro cantilever

Wet release and MEMS

### ABSTRACT

We know, cantilevers are based for the most of the MEMS components. In this paper, the fabrication process of  $\text{SiO}_2$  micro cantilever array based on bulk micromachining technology is introduced. The results of which can be used to fabricate of  $\text{SiO}_2$  micro cantilever sensors. The micro-cantilever fabrication process is implemented in the 13th stage with two glass and talcous masks and it is also suspend by wet release technique. The main advantages of the proposed method can be expressed no need for advanced deposition equipment, design with minimum mask, fast and simplicity in implementation of the micro cantilever, avoid of complexity release from sacrificial layer, release the micro cantilever at environment temperature, low cost price and finally possible to implement in microelectronics research laboratories with limited equipment. The  $\text{SiO}_2$  micro cantilevers fabricate with 1 and 2 $\mu\text{m}$  thickness, 50, 100, 150, 200, 250, 300, 350 and 400 $\mu\text{m}$  lengths, and 20 and 40 $\mu\text{m}$  widths. The resonant frequency and the spring constant values are also calculated for different materials ( $\text{Si}_3\text{N}_4$ ,  $\text{Si}$ ,  $\text{Au}$ ,  $\text{SiO}_2$ ,  $\text{Al}$  and  $\text{SU}_8$ ) with various sizes. The SEM images results show that the lithographic process is correctly done on the roughness of the backside substrate, the fabrication process and Si etching operations controls are performed suitable, and micro-cantilevers are suspended with negligible stress.

الکترونیکی و مکانیکی بسیار ریز می‌باشند که با استفاده از فن‌ها و فرآیندهای

بیچیده ساخت مدارهای مجتمع الکترونیکی (IC) ایجاد می‌گردند. قطعات MEMS عمده‌تاً بر روی ویفرهای سیلیکونی و یا ترکیبی از مواد نیمه‌هادی ساخته می‌شوند [1]. قطعات MEMS معمولاً از چندین قطعه متحرک

در حال حاضر یکی از حوزه‌های تحقیقاتی فعال دنیا، موضوع سامانه‌های میکروالکترومکانیکال<sup>1</sup> (MEMS) است. این سامانه‌ها ترکیبی از قطعات

<sup>1</sup> Micro electro mechanical system

### 1- مقدمه

برای ارجاع به این مقاله از عبارت ذیل استفاده نمایید:

H. Abdollahi, Fast and low lost fabrication of  $\text{SiO}_2$  microcantilever based on Bulk microelectromechanical system, *Modares Mechanical Engineering*, Vol. 17, No. 5, pp. 12-20, 2017 (in Persian)

آن، در اکثر آزمایشگاهها و شرکت‌های میکروالکترونیک موجود است، می‌توان از آن به عنوان روشی مؤثر در ایجاد ساختارهایی استفاده نمود که نیاز به عایق‌های الکتریکی و گرمایی خوبی دارند. در چنین مواردی، همان طور که از جدول 1 ملاحظه می‌شود، ضریب انبساط حرارتی، هدایت حرارتی و هدایت الکتریکی  $\text{SiO}_2$  از مواد دیگر کمتر است. لذا  $\text{SiO}_2$  ماده مناسبی است که می‌توان به کاربردهای آن در ساخت آشکارسازهای حرارتی، مادون قرمز، تراهنتر، میکروهیترها، شتاب‌سنج‌ها، میکروآیندها و... مبتنی بر فناوری میکروماشین کاری اشاره نمود. در این روش، تنها به دستگاه‌های ابتدائی لیتوگرافی، کوره اکسیداسیون و دستگاه لایه نشانی نیاز است. معلق‌سازی کانتیلیور، با رهاسازی آن از مایع به روش تر<sup>3</sup> انجام می‌شود تا از پیچیدگی فرآیند با رهاسازی خشک<sup>4</sup> اجتناب شود. بقیه مراحل کار نیز به طور شیمیایی انجام می‌شود.

## 2- روابط حاکم بر کانتیلیورها

ضریب فنریت<sup>5</sup> و فرکانس رزونانس<sup>6</sup> دو پارامتر مهم در کانتیلیورها هستند. در هر نوسان یا ارتعاشی، سختی یا ضریب فنریت یک پارامتر مهم برای جسم است. مقدار ضریب فنریت به انرژی الاستیک جسم بستگی دارد؛ این انرژی در فواصل مشخصی از جسم آزاد و یا ذخیره می‌شود نسبت میان نیرو و نتیجه خمی کانتیلیور با رابطه ( $F = -kz$ ) مشخص می‌شود که در آن:

$$k = \frac{Ewt^3}{4L^3} \quad (\text{Nm}^{-1}) \quad (1)$$

در این رابطه

$E$ : مدول یانگ (Pa)

$L$ : طول کانتیلیور (m)

$w$ : پهنای کانتیلیور (m)

$t$ : ضخامت کانتیلیور (m)

در معادله فوق، تأثیر ابعاد کانتیلیور در ضریب فنریت را می‌توان دید.

فرکانس رزونانس  $f_{\text{res}}$  برای یک کانتیلیور ساده با رابطه (3) به دست می‌آید.

$$f_{\text{res}} = \frac{1}{2\pi} \sqrt{\frac{k}{m_{\text{eff}}}} \quad (\text{Hz}) \quad (2)$$

در این رابطه:

$m_{\text{eff}}$ : جرم مؤثر کانتیلیور (kg)

جمله مؤثر یک کانتیلیور نیز از رابطه (2) به دست می‌آید.

$$m_{\text{eff}} = \frac{33}{140} \rho w t L \quad (\text{kg}) \quad (3)$$

در این رابطه:

$\rho$ : چگالی جرمی ( $\text{kgm}^{-3}$ )

با جایگذاری رابطه (1) و رابطه (2) در رابطه (3) مقدار فرکانس رزونانس

برابر با رابطه زیر خواهد شد [30].

$$f_{\text{res}} = 0.162 \frac{t}{L^2} \sqrt{\frac{E}{\rho}} \quad (\text{Hz}) \quad (4)$$

## 3- طراحی فرآیند ساخت

جهت ساخت کانتیلیور، از مواد گوناگونی در فرآیندهای ماشین کاری استفاده می‌شود تا بتوان قطعات پیچیده سه‌بعدی و دقیقی ساخت. جنس کانتیلیورهای تجاری معمولاً از سیلیکون (Si) [31]، نیتریت سیلیکون (SiN) کانتیلیورهای تجاری میکرو کانتیلیورهای تکمادهای از جنس  $\text{SiO}_2$  با هزینه کم بر پایه فناوری میکروماشین کاری حجمی

تشکیل می‌شوند که با کوپل کردن، می‌توان از آن‌ها در ساخت انواع حسگرها و یا عملگرها در اندازه‌های میکرونی بهره گرفت [2].

بدیهی است یکی از مزیت‌های اصلی قطعات MEMS اندازه کوچک آن‌ها نسبت به قطعات مرسوم است، کوچک بودن سایز به معنی مصرف کمتر انرژی است. با کوچک‌سازی قطعات می‌توان تعداد صدها عدد از آن‌ها را به صورت آرایه در یک چیپ قرار داد تا قیمت تمام شده به ازای هر قطعه بهشت کاهش باید. با این قابلیت می‌توان قطعات و حسگرها یکبار مصرف را با توجهی اقتصادی مناسبی تهیه کرد [3].

کانتیلیورها<sup>7</sup> پایه و اساس قطعات مبتنی بر ساختارهای MEMS می‌باشند و کاربردهای گسترده‌ای در شتاب‌سنج‌ها [4]، حسگرهای رطوبت [5]، حرارت‌سنج‌ها [6]، فشار‌سنج‌ها [7]، آشکارساز ذرات مغناطیسی [8]، شیمیایی [9]، گاز [10]، جریان [11]، مواد منفجره [12]، فوتون [13]، مادون‌قرمز [15,14]، ترا هرتز [16]، سرطان [17] - بایوچیپ‌ها [18] - ساخت میکروپیپ [19]، پرپ [20]، تیپ [21] AFM، میکرو صفحه داغ [22-25]، رزوناتور [26]، فیلترها [27] و تشخیص بیولوکولها [28] دارند. برای ساخت کانتیلیورها به تجهیزات پیشرفته لایه نشانی و سونش نیاز است. این تجهیزات به دلیل گران قیمت بودن، در بعضی از آزمایشگاه‌های تحقیقاتی موجود نیست.

طبق تعریف، کانتیلیور تیغه‌ای است که تنها یک سمت آن محکم شده است و سر دیگر آن آزاد است. در "شکل 1" تصویر یک کانتیلیور ساده نشان داده شده است. وقتی از کانتیلیور به عنوان حسگر استفاده می‌شود، از تغییرات فرکانس ارتعاش و یا میزان خمش آن به عنوان مؤلفه‌های برای اندازه‌گیری استفاده می‌شوند. برای مثال، میزان مولکول جذب شده بر روی کانتیلیور باعث تغییر در فرکانس ارتعاش تیغه می‌گردد. همچنین مؤلفه‌هایی مثل سیکوسیتی، چگالی و یا ترخ جریان مایعات و یا گازها می‌توانند باعث تغییر در فرکانس ارتعاش کانتیلیور گردند [29].

سیلیکون ماده مطلوبی برای ساخت قطعات نیمه‌هادی است زیرا دارای اکسید پایدار بوده و از نظر الکتریکی عایق است. شکل‌های مختلف اکسیدهای سیلیکون ( $\text{SiO}_2$ ,  $\text{SiO}_x$ , سیلیکات شیشه) عایق‌های الکتریکی و گرمایی خوبی هستند و به طور گسترده‌ای در میکرومашین کاری به کار می‌روند. همچنین با انتخاب دقیق آن‌ها روی سیلیکون، می‌توان سیلیکون را در اسید هیدروفلوراید به خوبی سونش نمود. دی‌اکسید سیلیکون ( $\text{SiO}_2$ ) به وسیله اکسید کردن سیلیکون یا گرم کردن در دماهای بالای  $800^\circ\text{C}$  رشد می‌کند، در صورتی که شکل‌های دیگر اکسیدها و شیشه با نهشت بخار شیمیایی، اسپاترینگ و اسپین لایه نشانی می‌شوند.

هدف از این مقاله، ارائه یک فرآیند ساخت ارزان قیمت با قابلیت پیاده‌سازی آسان در آزمایشگاه‌های تحقیقاتی با امکانات محدود جهت ساخت میکرو کانتیلیورهای از جنس  $\text{SiO}_2$  بر پایه فناوری میکروماشین کاری حجمی است. با روش ارائه شده، فرآیند ساخت با حداقل ماسک ارائه شده است، رهاسازی کانتیلیور در دماهای پایین انجام می‌شود و کانتیلیورهای به راحتی و به‌آسانی قابل پیاده‌سازی هستند. از آن‌جا که تمامی مواد و تجهیزات هر چند اندک

anchor



Free

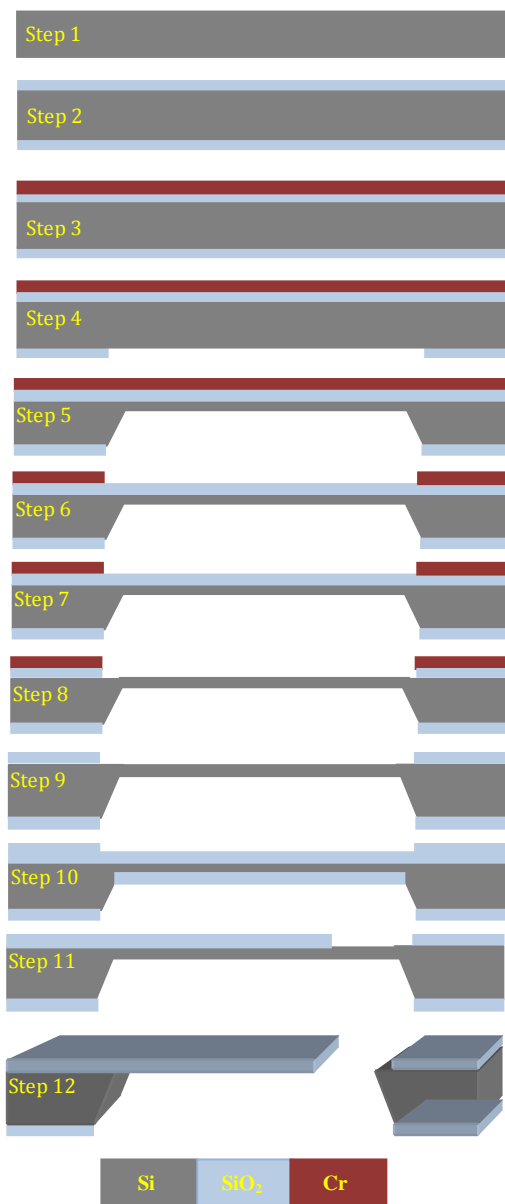
شکل 1 یک تصویر ساده از کانتیلیور

<sup>2</sup> Wet-release

<sup>3</sup> Dry-release

<sup>4</sup> Spring constant

<sup>5</sup> Resonant frequency



**Fig. 2** Description of fabrication process 1) Wafer Selecting, Cutting and Cleaning 2)  $\text{SiO}_2$  growing on double side 3) Cr deposition to more protection 4)  $\text{SiO}_2$  etching to open window 5) Si etching to make thin membrane 6) Cr etching to open window 7) Second Si etching to make thin membrane 8)  $\text{SiO}_2$  removing 9) Cr removing 10) Fresh  $\text{SiO}_2$  growing to make the main layer of cantilevers 11)  $\text{SiO}_2$  etching to form the main layers of cantilevers 12) Rest Si etching to suspend micro cantilevers

شکل 2 توصیف فرآیند ساخت. 1) انتخاب ویفر، برش و تمیزکاری بستر سیلیکون (2) اکسیداسیون جهت ایجاد ماسک سیلیکون (3) لایه‌نشانی کرم جهت محافظت بیشتر (4) حکاکی اکسید سیلیکون جهت ایجاد پنجره (5) حکاکی سیلیکون جهت ساخت پوسته نازک (6) حکاکی کرم جهت ایجاد پنجره (7) حکاکی مجدد سیلیکون جهت نازک‌سازی بیشتر (8) پاک کردن اکسید سیلیکون (9) پاک کردن کرم (10) لایه‌نشانی لایه اصلی میکروکانتیلیور با اکسید سیلیکون (11) حکاکی اکسید سیلیکون جهت شکل دهنی به کانتیلیورها (12) حکاکی سیلیکون باقی‌مانده در زیر کانتیلیورها و عملیات رهاسازی

پنجره همانند پنجره پشت در روی ویفر ایجاد می‌گردد، سپس کرم داخل پنجره از روی ویفر برداشته می‌شود. با برداشتن کرم در این مرحله، امکان نازک‌سازی بیشتر مهیا می‌شود، زیر نور از سیلیکون با

[32] یا اکسید سیلیکون ( $\text{SiO}_2$ ) [33] می‌باشد که در اندازه‌ها و شکل‌های مختلف و با حساسیت‌های مختلف عرضه می‌گردد. در جدول 1 برخی از موارد مورد استفاده برای ساخت کانتیلیورها بیان شده است.

در روش معرفی شده برای طراحی ساخت کانتیلیور به روش میکروماشین کاری حجمی، تعداد ماسک‌های کاهش یافته است و فرآیند معلق‌سازی کانتیلیورها نیز به روش بسیار ساده انجام می‌پذیرد. در روش میکروماشین کاری سطحی، فرآیند معلق‌سازی کانتیلیورها مشکل است و امکان دارد با کوچک‌ترین اشتباہ، کانتیلیورها به کف ویفر بچسبند و از آن جدا نگرددند. روند ساخت کانتیلیورهای پیشنهادی در 13 مرحله به شرح زیر است که مراحل ساخت آن به ترتیب در "شکل 2" نشان داده شده است:

1. انتخاب ویفر، برش و تمیزکاری: ویفر سیلیکون از نوع (110) P به ضخامت  $460\mu\text{m}$  به عنوان زیر لایه انتخاب می‌شود و در ابعاد موردنظر درجهت  $<100>$  برش داده و تمیزسازی سطح ویفر با عملیات معمول انجام می‌شود.

2. لایه نشانی  $\text{SiO}_2$ : ویفر سیلیکون در کوره اکسیداسیون قرار می‌گیرد تا دو طرف آن به ضخامت  $2\mu\text{m}$  اکسید شود. نسبت خورندگی  $\text{Si}/\text{SiO}_2$  در TMAH به ترتیب  $1/400$  است؛ بنابراین ضخامت اکسید از ضخامت ویفر به نسبت  $1/400$  بایستی بیشتر باشد. روش اکسیداسیون برای لایه‌های ضخامت بالا، ترکیبی از اکسیداسیون خشک و تر است. در "شکل 3" کوره اکسیداسیون مورد استفاده برای رشد  $\text{SiO}_2$  نشان داده شده است.

3. لایه نشانی Cr: کرم به ضخامت  $400\text{nm}$  به عنوان ماسک و جهت محافظت بیشتر از ویفر و اکسید نشانی می‌شود و نمونه‌ها تحت عملیات حرارتی قرار می‌گیرند تا استحکام کرم در طی فرآیند بیشتر شود.

4. حکاکی  $\text{SiO}_2$ : پشت ویفر را لیتوگرافی و با زدودن  $\text{SiO}_2$  یک پنجره به ابعاد  $2 \times 2\text{mm}$  برای ساخت غشاء سیلیکونی باز می‌شود. برای انجام عملیات لیتوگرافی از دستگاه ماسک الاینر<sup>1</sup> مدل "Karl Suss" شکل 4 و برای فتورزیست کاری از دستگاه لایه‌نشانی چرخشی<sup>2</sup> شکل 5 استفاده شده است.

5. حکاکی Si: با کمک TMAH، سیلیکون تا عمق  $400\mu\text{m}$  زدوده می‌شود تا یک پوسته به ضخامت  $60\mu\text{m}$  روی ویفر ایجاد شود.

6. حکاکی Cr: با انجام لیتوگرافی دوطرفه، روی ویفر را لیتوگرافی و یک

جدول 1 خواص برخی از مواد [1]

Table 1 Some of materials properties

$\text{Si}_3\text{N}_4$	Si	$\text{SiO}_2$	Al	Au	Si	واحد	خواص مواد
130	100	70	70	78	2	GPa	مدول یانگ (E)
0.25	0.28	0.25	0.35	0.44	0.22	-	نسبت پواسون
1.6	2.6	0.41	23.1	14.2	52	$10^6\text{K}^{-1}$	ضریب انبساط حرارتی (α)
29	149	1.1	235	323	0.3	$\text{W}(\text{mK})^{-1}$	هدایت حرارتی (G)
$10^{-14}$	$1.56 \times 10^{-14}$	$35 \times 10^7$	$41 \times 10^7$	$2.8 \times 10^{12}$	$\text{Sm}^{-1}$	$\sigma$ هدایت الکتریکی	
2.6	2.33	2.3	2.7	19.3	1.19	$\text{gem}^{-3}$	چگالی (ρ)
0.69	0.75	0.66	0.897	0.129	1.5	$\text{Jg}^{-1}\text{K}^{-1}$	ظرفیت گرمائی (C)

<sup>1</sup> Mask Aligner  
<sup>2</sup> Spinner

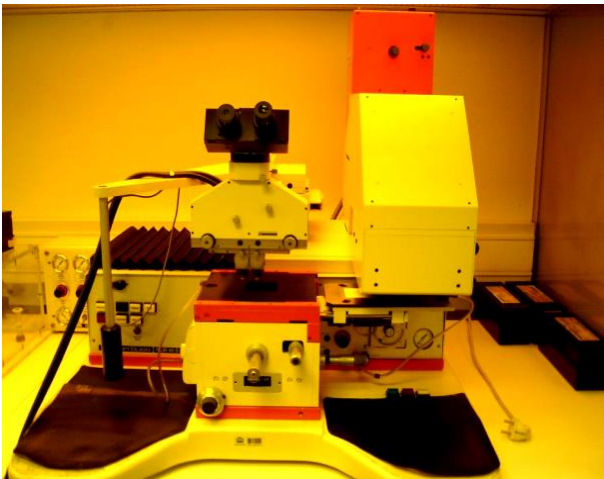


Fig. 4 Mask aligner image



Fig. 3 Oxidation oven image



Fig. 5 Spinner image

شکل 5 عکس دستگاه لایه نشانی چرخشی

عملیات رهاسازی میکروکاتنتیلیورها از مایع انجام می‌شود. 13. در مرحله پایانی، نمونه‌ها در دمای محیط از محلول TMAH خارج شده و به مدت 5 دقیقه در داخل آب DI غوطه‌ور می‌شوند تا آب جایگزین محلول TMAH گردد. مجدداً نمونه‌ها به مدت 5 دقیقه دیگر در داخل آب DI تازه دیگری غوطه‌ور شده تا از جایگزینی آب به جای محلول TMAH اطمینان حاصل شود. در آخرين مرحله، نمونه‌ها از آب DI خارج شده و به مدت 5 دقیقه در داخل استون غوطه‌ور می‌شوند تا استون جایگزین آب DI شود. مجدداً نمونه‌ها به مدت 5 دقیقه دیگر در داخل استون تازه دیگری غوطه‌ور می‌شوند تا از جایگزینی استون به جای آب DI اطمینان حاصل شود. در پایان نمونه‌ها از داخل استون به‌آرامی خارج شده و به صورت عمودی در هوای آزاد قرار می‌گیرند تا خشک شوند. باید توجه داشت که عملیات رهاسازی در دمای محیط انجام می‌شود و نباید از باد تمیز برای خشک کردن استفاده نمود.

جزئیات 13 مرحله فرآیند ساخت در جدول 2 به طور کامل نشان داده شده است.

#### 4- تحلیل نتایج و بحث و نتیجه

##### 4-1- نتایج نتوري

فرکانس رزونанс و ضریب فنریت کاتنتیلیور از جنس  $\text{SiO}_2$  بر حسب طول آن با پهنای  $20\mu\text{m}$  و با ضخامت‌های  $3, 4\mu\text{m}$  و  $1$  در "شکل 6" نشان داده شده است. محور افقی نمودار، طول کاتنتیلیورها از  $150\mu\text{m}$  تا  $450\mu\text{m}$  است.

ضخامت‌های نازک عبور می‌کند ولی با وجود کرم، نور از داخل سیلیکان عبور نمی‌کند. همچنین، از آن جایی که کاتنتیلیورها بایستی در روی پوسته باشند، با ایجاد پنجره در این مرحله، امکان پترن صحیح کاتنتیلیورها بر روی پوسته میسر می‌شود.

7. حکاکی مجدد Si: امکان نازک سازی پوسته در مرحله پنجم وجود نداشت، زیرا با وجود کرم، امکان رویت پوسته نازک سیلیکون در روی ویفر وجود نداشت. لذا با برداشته شدن کرم در مرحله ششم، می‌توان نازک سازی مرحله دوم Si را در این مرحله TMAH(25%) انجام داد. ضخامت پوسته پس از 50 دقیقه در دمای 80 درجه در حدود  $20\mu\text{m}$  می‌گردد.

8. پاک کردن  $\text{SiO}_2$ : ساختار اصلی کاتنتیلیورها از  $\text{SiO}_2$  است. از آن جایی که  $\text{SiO}_2$  رشد داده شده، کیفیت مطلوب خود را در طی انجام فرآیندهای مختلف از دست داده است؛ لازم است که  $\text{SiO}_2$  جدید با کیفیت مناسب رشد داده شود. به همین جهت  $\text{SiO}_2$  روی ویفر با HF پاک می‌شود تا با پدیدار شده سیلیکون، زمینه برای رشد سیلیکون جدید مهیا می‌شود.

9. پاک کردن Cr: در این مرحله کرم روی ویفر با آمونیم سریم برداشته می‌شود.

10. لایه نشانی  $\text{SiO}_2$ : مجدداً ویفر در کوره قرار می‌گیرد تا اکسید تازه و باضخامت موردنظر برای کاتنتیلیورها در آن رشد یابد؛ زیرا لایه اصلی تشکیل دهنده میکروکاتنتیلیورها در این مرحله ایجاد می‌شود.

11. حکاکی  $\text{SiO}_2$ : در این مرحله روی نمونه‌ها لیتوگرافی می‌شوند و اکسید از روی آن برداشته می‌شود تا لایه اصلی میکروکاتنتیلیور بر روی آن ایجاد شود.

12. حکاکی Si: در این مرحله پوسته ساخته شده از جنس Si حکاکی و

ساخت سریع میکرو کانتیلیورهای تکمادهای از جنس  $\text{SiO}_2$  با هزینه کم بر پایه فناوری میکروماشین کاری حجمی

مرحله	شرح فعالیت
1	انتخاب ویفر، برش و تمیز کاری
1-1	انتخاب ویفر
	نوع
	ضمamt
	برش
2-1	اندازه
	تمیز کاری دو طرفه
3-1	شستشو مرحله i
	شستشو مرحله ii
	شستشو مرحله iii
2	لایه نشانی $\text{SiO}_2$ در دو طرف
1-2	لایه نشانی $\text{SiO}_2$ در کوره اکسیداسیون
	فشار تزریق Ar
	نرخ افزایش دما
	فشار و زمان تزریق O و قطع
	زمان تزریق آب DI و قطع
	t و T ماندگاری در کوره
	حکاکی $\text{SiO}_2$ لایه اصلی
	لایه نشانی $\text{SiO}_2$ لایه اصلی
	لایه نشانی $\text{SiO}_2$ در کوره اکسیداسیون
	فشار تزریق Ar
	نرخ افزایش دما
	فشار و زمان تزریق O و قطع
	زمان تزریق آب DI و قطع
	t و T ماندگاری نمونه در کوره
	لایه نشانی Cr در روی نمونه
	لایه نشانی Cr
1-3	روش
	ضمamt لایه
	نرخ لایه نشانی
	عملیات حرارتی
2-3	Ar فشار تزریق
	نرخ افزایش دما
	t و ماندگاری در کوره
	حکاکی $\text{SiO}_2$ پشت نمونه
	فتوژیست کاری با Shipley1813
	دور و زمان لایه نشانی
	پخت نرم
2-4	زمان و دما
	نوردهی
	زمان
	ظهور در محلول $\text{Na}_2\text{OH}$ (4.5%)
	زمان
	پخت سخت
	زمان و دما
	حکاکی $\text{SiO}_2$ در BOE
	زمان
	پاک کردن فتوژیست در استون
	حکاکی Si پشت نمونه
	حکاکی Si در TMAH (25%)
	زمان و دما
	حکاکی Cr
	لیتوگرافی همانند مرحله 4-4 تا 4-4
	پخت سخت
	زمان و دما
	حکاکی Cr در آمونیم سریم
	زمان
	پاک کردن فتوژیست در استون
	حکاکی Si پشت نمونه
	حکاکی Si در TMAH (25%)
	زمان و دما
	پاک کردن $\text{SiO}_2$ دو طرف نمونه
	پاک کردن $\text{SiO}_2$ در HF(20%)
	زمان
	پاک کردن Cr روی نمونه
	پاک کردن Cr در آمونیم سریم
	زمان
	لایه نشانی $\text{SiO}_2$ لایه اصلی
	لایه نشانی $\text{SiO}_2$ در کوره اکسیداسیون
	فشار تزریق Ar
	نرخ افزایش دما
	فشار و زمان تزریق O و قطع
	زمان تزریق آب DI و قطع
	t و T ماندگاری در کوره
	حکاکی $\text{SiO}_2$ لایه اصلی
	لیتوگرافی همانند مرحله 4-4 تا 4-4
	حکاکی $\text{SiO}_2$ در BOE
	زمان
	پاک کردن فتوژیست در استون
	حکاکی Si باقیمانده در زیر کانتیلیور
	HF(2%) مغروف در
	زمان مغروف شدن در آب DI
	زمان مغروف شدن در آب DI تمیز
	حکاکی Si در TMAH(25%)
	زمان و دما
	رهاسازی میکرو کانتیلیور
	زمان مغروف شدن در آب DI
	زمان مغروف شدن در آب DI تمیز
	زمان مغروف شدن در استون
	زمان مغروف شدن در استون تمیز
4	حکاکی $\text{SiO}_2$ پشت نمونه
1-4	فتوژیست کاری با Shipley1813
	دور و زمان لایه نشانی
	پخت نرم
2-4	زمان و دما

جدول 2 جزئیات فرآیند ساخت میکرو کانتیلیورها

Table 2 Details of micro cantilever fabrication process

محور عمودی در سمت چپ و راست نمودار به ترتیب فرکانس رزونانس بر حسب KHz و ضریب فریت بر حسب N/m است. نمودارهای ممتد با علامت دایره مربوط به فرکانس رزونانس و نمودارهای خطچین شده با علامت مربع مربوط به ضریب فریت می‌باشند. این قاعده رسم نمودار برای "شکل 7 و 8" نیز رعایت شده است.

طبق رابطه (4) فرکانس رزونانس با مجذور طول کانتیلیور رابطه عکس و با ضخامت کانتیلیور رابطه مستقیم دارد؛ بنابراین با افزایش طول کانتیلیور، فرکانس رزونانس کاهش می‌یابد و با افزایش ضخامت کانتیلیور، فرکانس رزونانس افزایش می‌یابد. طبق رابطه (1) نیز ضریب فریت با توان سوم طول رابطه عکس و با توان سوم ضخامت رابطه مستقیم دارد؛ بنابراین مقادیر فرکانس رزونانس با افزایش طول و کاهش ضخامت کانتیلیور، ضریب فریت کانتیلیور کاهش می‌یابد.

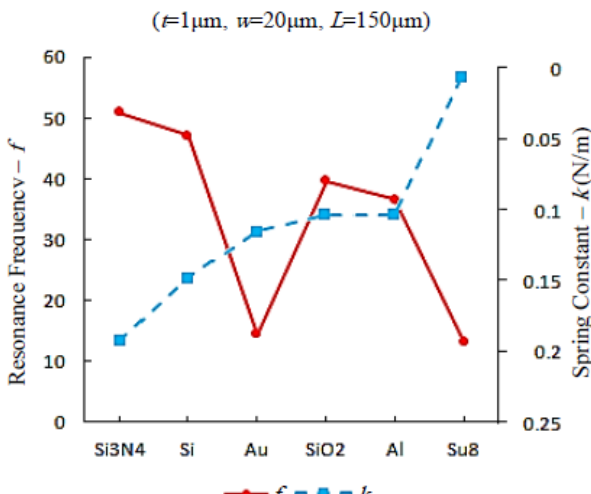
"شکل 7" فرکانس رزونانس و ضریب فریت کانتیلیور را به ازای پهنهای  $80\mu\text{m}$ ،  $40\mu\text{m}$  و  $20\mu\text{m}$  نشان می‌دهد. طبق رابطه (4) فرکانس رزونانس با پهنهای کانتیلیور رابطه‌ای ندارد؛ بنابراین مقادیر فرکانس رزونانس با

ریشه دوم جرم حجمی مواد رابطه عکس دارد و از آن جایی که جرم حجمی طلا طبق جدول 1 حدوداً 10 برابر بیشتر از مواد مشابه دیگر است؛ بنابراین مقدار فرکانس رزونانس کانتیلیور از جنس  $\text{SiO}_2$  حدوداً 3 برابر کمتر از مواد دیگر خواهد شد.

#### 4- نتایج ساخت

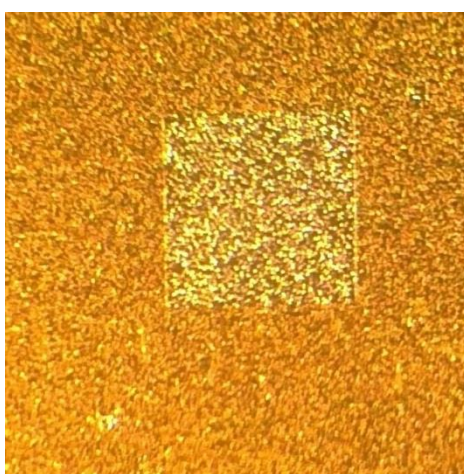
جهت کنترل فرآیند در حین فرآیند ساخت، از مراحل مختلف عکس برداری شده است که در ادامه به بررسی برخی از آن‌ها پرداخته خواهد شد.

"شکل 9" تصویر نوری حاصل از میکروسکوپ نوری از نتیجه حکاکی  $\text{SiO}_2$  پشت زیر لایه توسط محلول BOE در مرحله 4 را نشان می‌دهد. بهدهای صاف پنجره مربعی شکل در این تصویر نشان می‌دهد که عملیات لیتوگرافی باوجود ناهمواری در پشت زیر لایه به خوبی انجام شده است. همچنین این شکل نشان می‌دهد که  $\text{SiO}_2$  به خوبی زدوده شده است و شکل پنجره مربعی شکل بعد از عملیات زدایش حفظ شده است. (2) فتورزیست ماسک خوبی برای  $\text{SiO}_2$  بوده است؛ زیرا در داخل BOE به خوبی



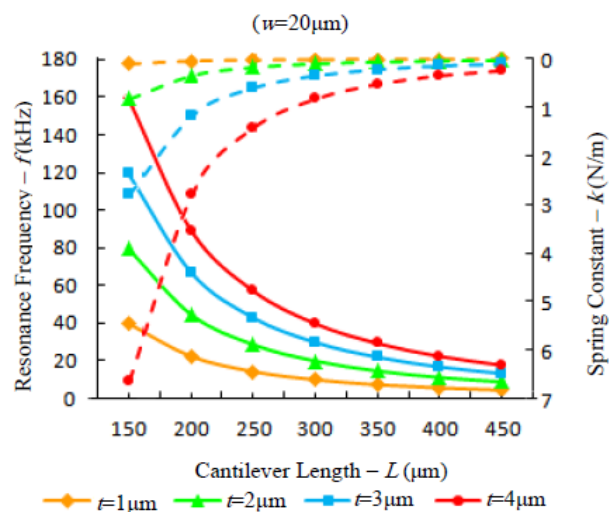
شکل 8 نمودار فرکانس رزونانس و ضریب فنریت بر جنس مواد مختلف برای  $L=150\mu\text{m}$  و  $t=1\mu\text{m}$ ,  $w=20\mu\text{m}$

شکل 8 نمودار فرکانس رزونانس و ضریب فنریت بر جنس مواد مختلف برای  $L=150\mu\text{m}$  و  $t=1\mu\text{m}$ ,  $w=20\mu\text{m}$

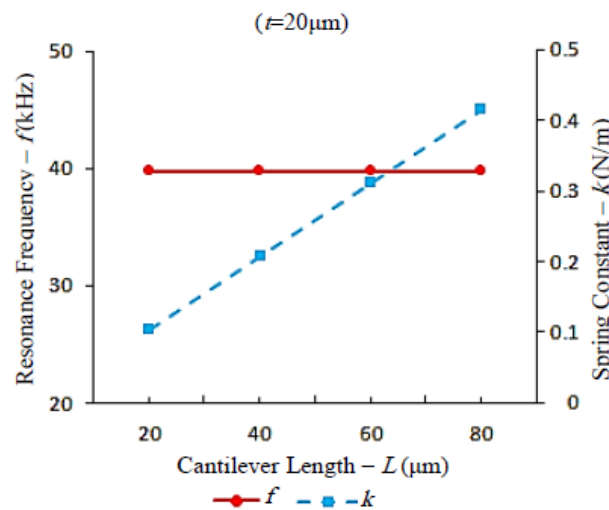


شکل 9 The optical image of backside  $\text{SiO}_2$  etching using BOE etchant in Step 4 to form a square window shape

شکل 9 تصویر نوری با میکروسکوپ نوری از حکاکی  $\text{SiO}_2$  پشت زیر لایه در مرحله 4 با BOE جهت ایجاد پنجره مربعی شکل



شکل 6 نمودار فرکانس رزونانس و ضریب فنریت کانتیلیور از جنس  $\text{SiO}_2$  بر حسب طول آن با پهنای  $20\mu\text{m}$  و ضخامت‌های  $1, 2, 3$  و  $4\mu\text{m}$  محورهای عمودی در سمت چپ و راست شکل به ترتیب فرکانس رزونانس و ضریب فنریت می‌باشند.



شکل 7 نمودار فرکانس رزونانس و ضریب فنریت بر حسب پهنای مختلف کانتیلیور

با ضخامت  $t=1\mu\text{m}$

تغییر پهنا مطابق شکل ثابت می‌ماند. ضریب فنریت طبق رابطه (1) با پهنای کانتیلیور رابطه مستقیم دارد لذا با افزایش پهنای کانتیلیور، مقدار ضریب فنریت بهصورت خطی افزایش خواهد یافت.

در "شکل 8" نمودار فرکانس رزونانس و ضریب فنریت برای مواد مختلف ترسیم شده است. مواد مختلف در محور افقی این شکل به ترتیب از بیشترین مقدار مدول یانگ به کمترین مقدار مرتب شده است که  $\text{Si}_3\text{N}_4$  و  $\text{SU}_8$  به ترتیب بیشترین و کمترین مقدار مدول یانگ را دارند. براساس رابطه (1) و (4) ضریب فنریت و فرکانس رزونانس با مدول یانگ رابطه مستقیم دارد؛ بنابراین با کم شدن مدول یانگ، مقدار فرکانس رزونانس و ضریب فنریت کاهش می‌یابد؛ اما نمودار فرکانس رزونانس در  $\text{Au}$  از پیوستگی منظم برخوردار نیست و مقدار آن بهشدت کاهش یافته است. فرکانس رزونانس با

در "شکل 11" تصاویر حکاکی لایه اصلی کانتیلیورها در مرحله 11 به کمک میکروسکوپ نوری با تابش نور از زیر بستر نشان داده شده است. کانتیلیورها با پهنای  $40\mu\text{m}$  در محور افقی و کانتیلیورها با پهنای  $20\mu\text{m}$  در محور عمودی به ترتیب با طولهای  $100$ ,  $50\mu\text{m}$ ,  $300$ ,  $250$ ,  $200$ ,  $150$ ,  $100$ ,  $50\mu\text{m}$ ,  $350$  و  $400$  قرار گرفته است. این شکل نشان می‌دهد که حکاکی و عملیات لیتوگرافی لایه اصلی کانتیلیورها به درستی انجام شده است. نواحی قرمزنگ تصویر نشان می‌دهد که ضخامت پوسته سیلیکونی بسیار نازک است، زیرا نور از سیلیکون عبور کرده است. همچنین قرار گرفتن کانتیلیورها در نواحی قرمزنگ نشان می‌دهد که لیتوگرافی دوطرفه نیز به درستی انجام شده است.

تصاویر نهایی کانتیلیورها از جنس  $\text{SiO}_2$  به کمک میکروسکوپ الکترونی عکسبرداری شده است. ضخامت کانتیلیورهای ساخته شده متفاوت بوده که در ادامه، تصاویر آن‌ها نشان داده خواهد شد.

تصویر نهائی روبشی کانتیلیورهای معلق ساخته شده به ضخامت  $1\mu\text{m}$  از رویرو در "شکل 12" نشان داده شده است. عرض کانتیلیورهای باریک  $20\mu\text{m}$  و عرض کانتیلیورهای عریض تر نیز  $40\mu\text{m}$  است. طول این کانتیلیورها به ترتیب از  $400\mu\text{m}$  تا  $50\mu\text{m}$  با گامهای  $50\mu\text{m}$  است. ضخامت لایه اکسید با ضخامت سنج به اندازه  $1\mu\text{m}$  اندازه‌گیری گردید.

تصاویر دو سری از کانتیلیورها ساخته شده به ضخامت  $2\mu\text{m}$  و عرض  $20\mu\text{m}$  به طول  $50\mu\text{m}$  تا  $400\mu\text{m}$  با گامهای  $50\mu\text{m}$  در "شکل 13" نشان داده شده است. شکل الف، تصویر روبشی از بالا را نشان می‌دهد و شکل ب، تصویر روبشی مورب از کانتیلیورها را نشان می‌دهد. این اشکال نشان می‌دهند که کانتیلیورها معلق شده‌اند.

"شکل 14" نیز نشان‌دهنده همین نوع کانتیلیورها با عرض  $40\mu\text{m}$  است. این شکل، تصویر روبشی مورب از کانتیلیورها را نشان می‌دهد که کانتیلیورها به حالت معلق درآمده و استرس آن‌ها نیز ناچیز است.

عملیات رهاسازی کانتیلیورها از مایع در دمای پایین انجام می‌شود؛ نابراین انتظار می‌رود که استرس آن‌ها بعد از معالج‌سازی محسوس نباشد.

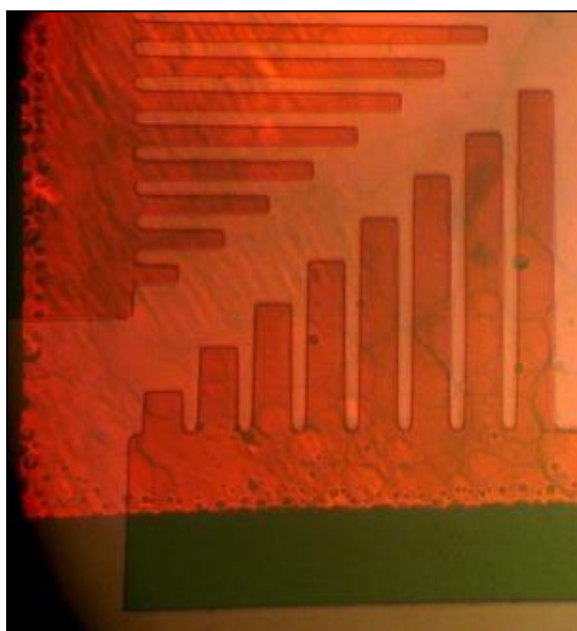


Fig. 11 The images of microcantilever main layer etching in step 11 by an optical microscopy with lighting under the substrate

شکل 11 تصاویر نوری کانتیلیورها بعد از حکاکی لایه اصلی در مرحله 11 توسط میکروسکوپ نوری با نوردهی از پشت بستر

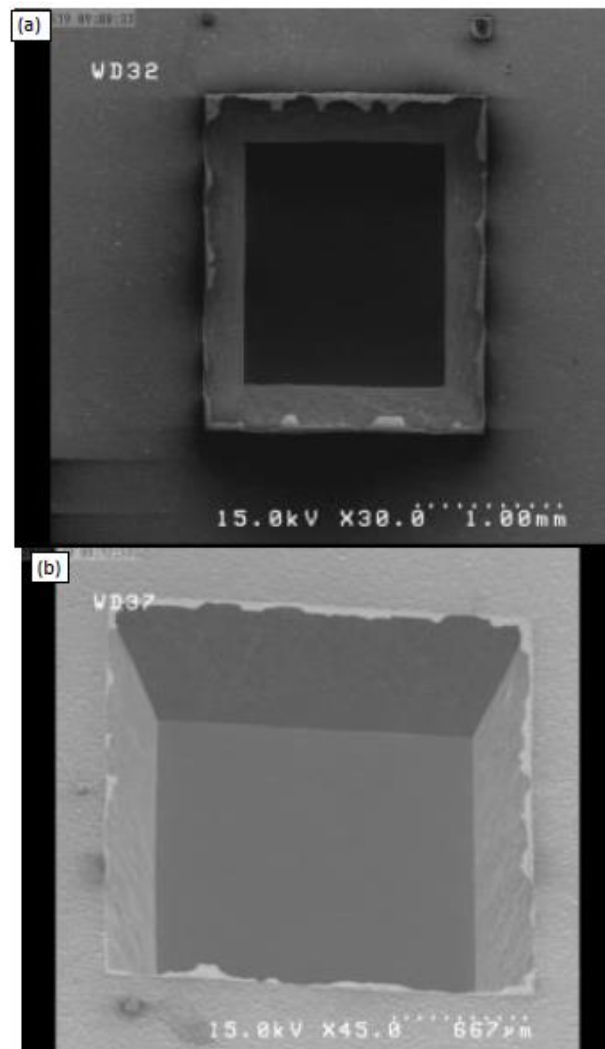


Fig. 10 The SEM image of  $400\mu\text{m}$  silicon etching using TMAH (25%) in stage five

شکل 10 تصویر روبشی از حکاکی سیلیکان در مرحله 5 به عمق  $400\mu\text{m}$  با TMAH(25%)

دوام آورده است به طوری که سطح  $\text{SiO}_2$  در خارج پنجره مربعی شکل صدمه نخورد است.

"شکل 10" تصویر روبشی از سیلیکون حکاکی شده تا عمق  $400\mu\text{m}$  با محلول TMAH(25%) در مرحله 5 را نشان می‌دهد. حفظ شکل مربع بیرونی روی زیر لایه و مربع داخلی بعد از حکاکی، نشان می‌دهد که جهت لیتوگرافی برای ایجاد پنجره در عملیات لیتوگرافی مرحله 5 به درستی رعایت شده است و کنترل عملیات زدایش Si نیز قابل قبول است (شکل 10 (الف)). خراش‌های لبه پنجره، نشان‌دهنده زیر بریدگی سیلیکون است. این شکل نشان می‌دهد که دور مربع خارجی ماسک  $\text{SiO}_2$  در اثر خشک کردن با باد در حین فرآیند ساخت صدمه خورده و شکل خود را از دست داده است. همچنین تصویر روبشی نشان می‌دهد که ناهمواری سطح در عمق سیلیکون ناچیز و نامحسوس است.

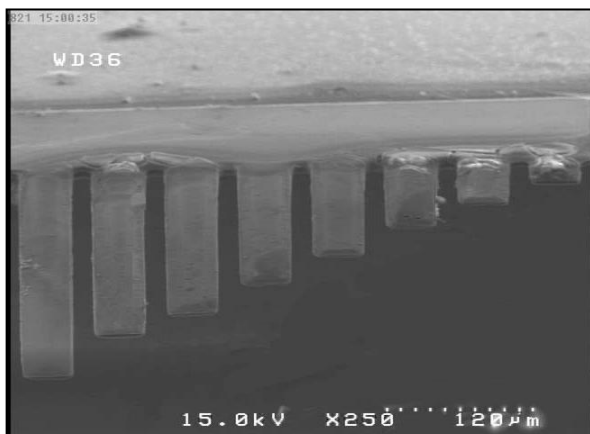
"شکل 10 (ب)" تصویر روبشی مورب از سیلیکون حک شده را نشان می‌دهد. این تصویر نشان می‌دهد که شکل شبیه زدایش Si در محلول TMAH حفظ شده است و همچنین نشان‌دهنده کنترل صحیح فرآیند ساخت است.

عرضی یکی از آن‌ها طبق "شکل 15" بزرگ شد تا ضخامت اندازه‌گیری شود. این شکل نشان می‌دهد که ضخامت کانتیلیورهای ساخته شده در حدود  $2.66\mu\text{m}$  است. متاسفانه، خطای اندازه‌گیری زیاد و مقادیر قابل قبول نیست؛ زیرا زاویه عکسبرداری از نمونه  $90^\circ$  نبود، به همین جهت ضخامت کانتیلیورها توسط دستگاه ضخامت‌سنج اندازه‌گیری شد که مقدار آن در حدود  $2.2\mu\text{m}$  گردید که با در نظر گرفتن خطای اندازه‌گیری تقریباً با مقدار اندازه‌گیری شده از طریق تصویر رویشی مطابقت دارد.

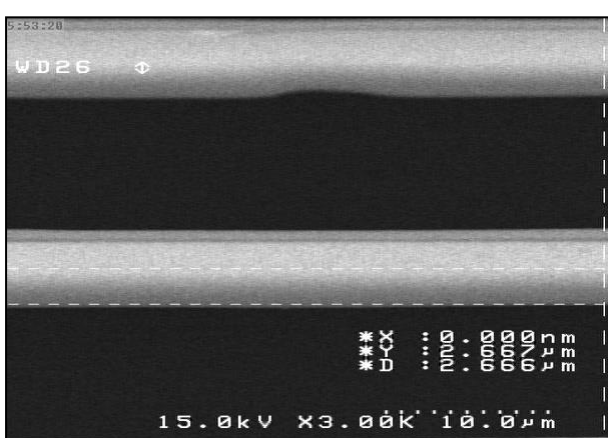
در "شکل 16" تصویر رویشی از یک کانتیلیور به ضخامت  $600\text{nm}$  به طول  $160\mu\text{m}$  با عرض  $20\mu\text{m}$  به صورت زاویه‌دار (مورب) نشان داده شده است. برای اندازه‌گیری ضخامت از دستگاه ضخامت‌سنج استفاده شد که مقدار ضخامت در حدود  $590\text{nm}$  اندازه‌گیری شد. این شکل نشان می‌دهد که تنها یکی از کانتیلیورها سالم مانده است و بقیه آن‌ها در طول فرآیند ساخت کنده شده است. همچنین این شکل نشان می‌دهد که کنترل فرآیند ساخت کانتیلیور نشان می‌دهد که با بهینه‌سازی و کنترل دقیق‌تر کنترل فرآیند ساخت، می‌توان کانتیلیورهایی با ضخامت کمتر را نیز ساخت.

## 5- نتیجه‌گیری

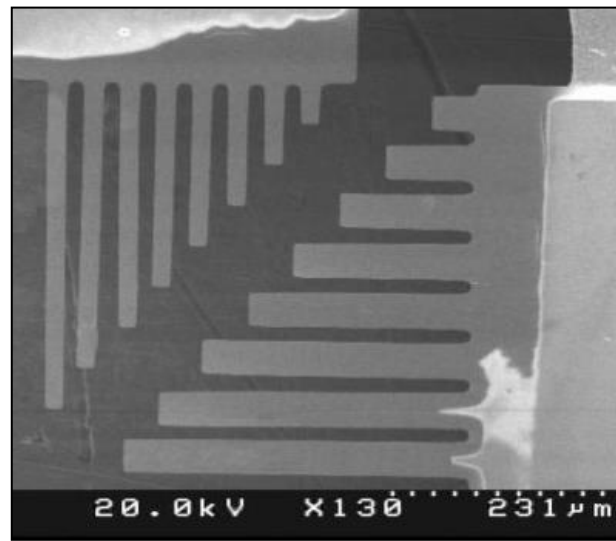
در این مقاله، فرآیند ساخت کانتیلیورها از جنس  $\text{SiO}_2$  شرح داده شده است.



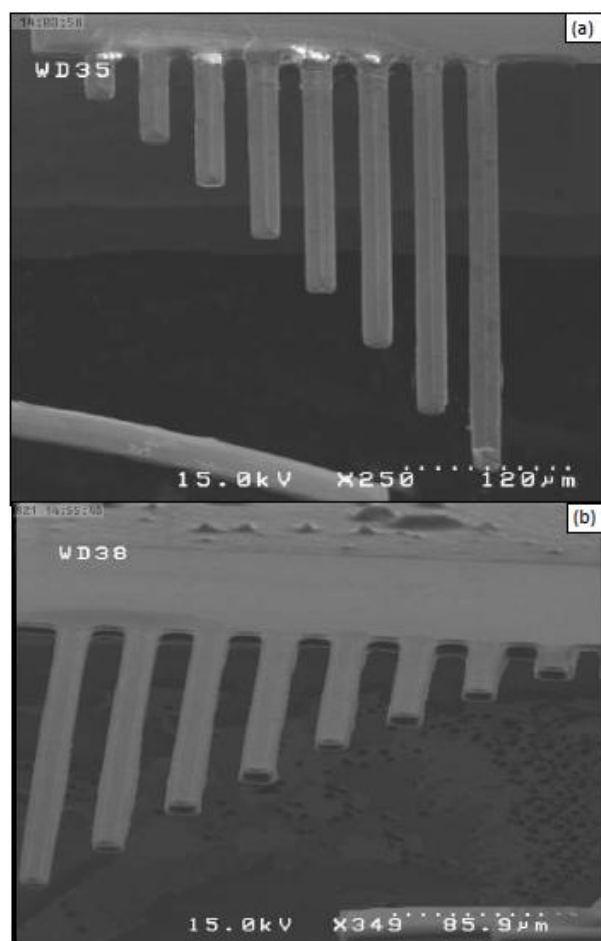
شکل 14 تصاویر SEM کانتیلیورهای از جنس  $\text{SiO}_2$  به ضخامت  $2\mu\text{m}$  و عرض  $40\mu\text{m}$



شکل 15 اندازه‌گیری ضخامت کانتیلیور با SEM



شکل 12 تصویر رویشی نهایی از کانتیلیورها به ضخامت  $1\mu\text{m}$

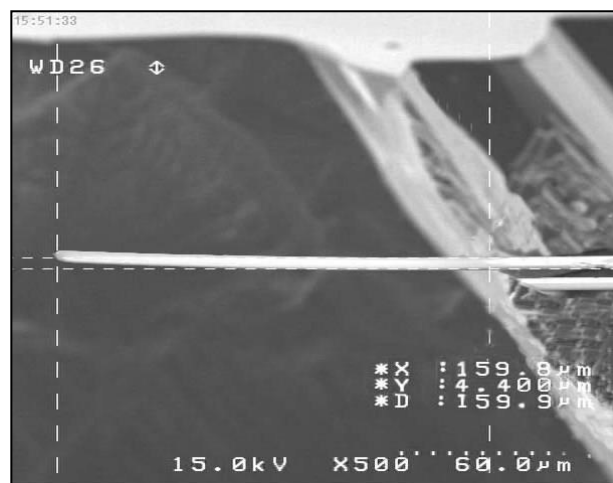


شکل 13 تصاویر دو سری از کانتیلیورها به ضخامت  $2\mu\text{m}$  با عرض  $20\mu\text{m}$

(الف) تصویر از بالا (ب) تصویر مورب

همان‌طور که از "شکل 10 و 11" ملاحظه می‌شود، میزان خمیدگی کانتیلیورها کم است بنابراین استرس کانتیلیورها بعد از رهاسازی ناچیز است. برای این‌که بتوان ضخامت کانتیلیورها را با SEM اندازه گرفت، تصویر

- [8] H. J. Cho, H. A. Chong, A bidirectional magnetic microactuator using electroplated permanent magnet arrays, *Journal of Microelectromechanical Systems*, Vol. 1, No. 1, pp. 78-84, 2002.
- [9] N. Abedinov, C. Popov, Z. Yordanov, I.W. Rangelow, Investigations of the sorption behaviour of amorphous nitrogen-rich carbon nitride films as sensitive layers for cantilever-based chemical sensors, *Applied Physics A*, Vol. 79, No. 3, pp. 531-536, 2004.
- [10] A. Loui, D. J. Sirbuly, S. Elhadj, S. K. McCall, Detection And Discrimination Of Pure Gases And Binary Mixtures Using A Single Microcantilever, *Sensors and Actuator*, Vol. 159, No. 1, pp. 58-63, 2009.
- [11] C. Y. Lee, C. Y. Wen, H. H. Hou, R. J. Yang, Design and characterization of MEMS-based flow-rate and flow-direction microsensor, *Microfluidics and Nanofluidics*, Vol. 6, No. 3, pp. 363-371, 2009.
- [12] J. Yinon, Peer reviewed: detection of explosives by electronic noses, *Analytical Chemistry*, Vol. 75, No. 5, pp. 98-A, 2009.
- [13] P.G. Datskos, S. Rajic, C.M. Egert, I. Datskou, Detection of Infrared Photons Using the Electronic Stress in Metal-semiconductor Interfaces, *Infrared Technology and Applications XXV*, Orlando, Proceeding of SPIE, pp. 151-160, 1998
- [14] H. Abdollahi, H. Hajghassem, S. Mohajerzadeh, Simple fabrication of an uncooled  $\text{Al}/\text{SiO}_2$  microcantilever IR detector based on bulk micromachining, *Microsystem Technologies*, Vol. 20, No. 3, pp. 387-396, 2014.
- [15] C.N. Chen, Fully quantitative characterization of CMOS-MEMS polysilicon/titanium thermopile infrared sensors, *Sensors and Actuators B: Chemical*, Vol. 161, No. 1, pp. 892-900, 2012.
- [16] D. T. Nguyen, F. Simoens, J. L. Ouvrier-Buffet, J. Meilhan, J. L. Coutaz, Broadband THz uncooled antenna-coupled microbolometer array—electromagnetic design, simulations and measurements, *IEEE Transactions on Terahertz Science and Technology*, Vol. 2, No. 3, pp. 299-305, 2012.
- [17] Y. Xiang, J. Tian, Z. Zhang, Y. Dai, Diagnosis of endometrial cancer based on back-propagation neural network and near-infrared spectroscopy of tissue, *In Fuzzy Systems and Knowledge Discovery, Sixth International Conference*, Tianjin, China, IEEE, Vol. 3, pp. 508-512, 2009
- [18] C. A. Rowe, L. M. Tender, M. J. Golden, S. B. Scruggs, Array biosensor for simultaneous identification of bacterial, viral, and protein analytes, *Analytical Chemistry*, Vol. 71, No. 17, pp. 3846-3852, 1999.
- [19] H. Kim, A. A. Astle, K. Najafi, L. P. Bernal, An Integrated Electrostatic Peristaltic 18-Stage Gas Micropump With Active Microvalves, *Journal of Microelectromechanical Systems*, Vol. 24, No. 1, pp. 192-206, 2015.
- [20] R. Kassing, E. Oesterschulze, Sensors for scanning probe microscopy, *Micro/Nanotribology and Its Applications*, Springer Netherlands, Vol. 76, No. 6, pp. 907-911, 2003.
- [21] A. K. mohammadi, M. Abbasi, Nonlinear vibration analysis of a dynamic atomic force microscope microcantilever in the tapping mode based on the modified couple stress theory, *Modares Mechanical Engineering*, Vol. 14, No. 11, pp. 9-17, 2015. (in Persian) (فارسی)
- [22] F. Samaeifar, A. Afifi, H. Abdollahi, The effect of the using a thin silicon island underneath the micro-hotplate membrane on the MEMS micro-heater performance, *Journal of Advanced Design and Manufacturing Technology*, Vol. 9, No. 3, pp. 93-106, 2015. (in Persian) (فارسی)
- [23] F. Samaeifar, H. Hajghassem, H. Abdollahi, M. Mohtashamifar, Design and Fabrication of high temperature MEMS platinum micro-heater based on suspended membrane structure, *Journal of Electronics Industries*, Vol. 4, No. 1, pp. 25-32, 2014 (in Persian) (فارسی)
- [24] F. Samaeifar, H. Hajghassem, A. Afifi, H. Abdollahi, Implementation of high-performance MEMS platinum micro-hotplate, *Sensor Review*, Vol. 35, No. 1, pp. 116-124, 2015.
- [25] F. Samaeifar, A. Afifi, H. Abdollahi, Simple Fabrication and Characterization of a Platinum Microhotplate Based on Suspended Membrane Structure, *Experimental Techniques*, 2014.
- [26] M. Ghanbari, S. Hossainpour, G. Rezazadeh, Effect of fluid media on vibration of a microbeam resonator using micropolar theory, *Modares Mechanical Engineering*, Vol. 14, No. 10, pp. 205-210, 2015. (in Persian) (فارسی)
- [27] H. Mao, K.D. Silva, M. Martyniuk, J. Antoszewski, J. Bumgarner, B.D. Nener, J.M. Dell, L. Faraoone, MEMS-Based Tunable Fabry-Pérot Filters for Adaptive Multispectral Thermal Imaging, *Journal of Microelectromechanical Systems*, Vol. 25, No. 1, pp. 277-235, 2016.
- [28] S. L. Biswal, D. Raorane, A. Chaiken, A. Majumdar, Using a microcantilever array for detecting phase transitions and stability of DNA, *Clinics in laboratory medicine*, Vol. 27, No. 1, pp. 163-171, 2007.
- [29] D. Arecco, R. Pryputniewicz, Design and analysis of MEMS chemical sensor, *Proceeding. 4th International Symposium on MEMS and Nanotechnology*, Arlington: IEEE, pp. 211-216, 2003.
- [30] F. M. Battiston, J.-P. Ramseyer, H. P. Lang, M. K. Baller, Güntherodt, A chemical sensor based on a microfabricated cantilever array with simultaneous resonance-frequency and bending readout, *Sensors and Actuators B: Chemical*, Vol. 77, No. 1, pp. 122-131, 2001.
- [31] S. R. Manalis, S. C. Minne, C. F. Quate, G. G. Yaralioglu, Two-dimensional micromechanical bimorph arrays for detection of thermal radiation, *Applied Physics Letters*, Vol. 70, No. 24, pp. 3311-3313, 1997.
- [32] D. Zhi-Hui, Z. Qing-Chuan, W. Xiao-Ping, P. Liang, Uncooled Optically Readable Bimaterial Micro-Cantilever Infrared Imaging Device, *Chinese Physics Letters*, Vol. 20, No. 12, pp. 2130, 2003.
- [33] S.R. Hunter, G. Maurer, L. Jiang, G. Simelgor, High sensitivity Uncooled microcantilever infrared imaging arrays, *Infrared Technology and Applications XXIX*, Orlando, Proceeding of SPIE, pp. 469-480, 2006. (in Persian)



**Fig. 16** تصویر زاویه دار از کانتیلیور به ضخامت 600nm. به طول 160μm و به عرض 20μm

شکل 16 تصویر زاویه دار از کانتیلیور به ضخامت 600nm. به طول 160μm و به عرض 20μm

کانتیلیورها به طول‌های 50μm، 100، 150، 200، 250، 300 و 400 μm به عرض‌های 20 μm و 40 μm باضخامت 1 μm و 2 μm برای  $\text{SiO}_2$  ساخته شدند. با طراحی فرآیند ساخت ارائه شده، این کانتیلیورها را می‌توان به سرعت در آزمایشگاه‌های میکروالکترونیک با تجهیزات محدود مانند لیتوگرافی، کوره اکسیداسیون و لایه نشانی با یک روش ساده و کم هزینه ساخت کانتیلیورها. این فرآیند با حداقل عملیات لیتوگرافی و با حداقل تعداد ماسک ساخته شده است به طوری‌که ساخت آن‌ها با دو عملیات لیتوگرافی یک طرفه و یک عملیات لیتوگرافی دوطرفه بوسیله یک ماسک شیشه‌ای و یک ماسک طلقی تحقق یافته است. معلق‌سازی کانتیلیورها به روش رهاسازی تر است و از پیچیدگی رهاسازی کانتیلیورها از لایه قربانی اجتناب شده است. با این روش، می‌توان کانتیلیورهایی از جنس  $\text{SiO}_2$  با شکل‌های هندسی مختلف را ساخت.

## 6- تقدیر و تشکر

برای ساخت میکروکانتیلیورهای ذکر شده در این مقاله از امکانات آزمایشگاه لایه نازک دانشگاه مالک اشتر استفاده شده است. شایسته است از آقای دکتر حسن حاج قاسم از دانشگاه تهران و زحمات آقایان مهندس منصور محشمی‌فر و مجیدرضا علی‌احمدی از دانشگاه مالک اشتر که در انجام این تحقیق، بنده را یاری نموده‌اند، کمال تقدیر و تشکر را بنمایم.

## 7- مراجع

- [1] S. K. Vashist, A review of microcantilevers for sensing applications, *J. of Nanotechnology*, Vol. 3, pp. 1-18, 2007.
- [2] C. Hilbert, H. Curtis, C. Anagnostopoulos, R. Finnila, MEMS and Microsystems in Europe, *International Technology Research Institute*, 2000; [http://www.wtec.org/loyola/mcc/mems\\_eu/](http://www.wtec.org/loyola/mcc/mems_eu/)
- [3] W. Wang, V. Upadhyay, C. Munoz, J. Bumgarner, FEA simulation, design, and fabrication of an uncooled MEMS capacitive thermal detector for infrared FPA imaging, *Infrared Technology and Applications XXXII*, Orlando, Proceeding of SPIE 6206, pp. 62061L-620612L, 2006.
- [4] A. Albarbar, A. Badri, K. Jyoti, J.K. Sinha, Performance evaluation of MEMS accelerometers, *Measurement*, Vol. 42, No. 5, pp. 790-795, 2009.
- [5] L.T. Chen, C.Y. Lee, W.H. Cheng, MEMS-based humidity sensor with integrated temperature compensation mechanism, *Sensors and Actuators A: Physical*, Vol. 147, No.2, pp. 522-528, 2008.
- [6] B. Wang, J. Lai, E. Zhao, H. Hu, Vanadium oxide microbolometer with gold black absorbing layer, *Optical Engineering*, Vol. 51, No. 7, pp. 0740031-0740037, 2012.
- [7] M. Sadeghi, M. Fathalilou, G. Rezazadeh, Study On the Size Dependent Behavior of a Micro-beam Subjected to a Nonlinear Electrostatic Pressure, *Modares Mechanical Engineering*, Vol. 14, No. 15, pp. 137-144, 2015. (in Persian)